

密度汎関数法による 原子核大振幅集団運動の記述に向けて

鷺山 広平、中務 孝 筑波大学計算科学研究センター



はじめに：原子核の形の揺らぎ、四重極変形

手法：集団模型、密度汎関数法

結果：3次元Skyrme-QRPA, 慣性質量

まとめ

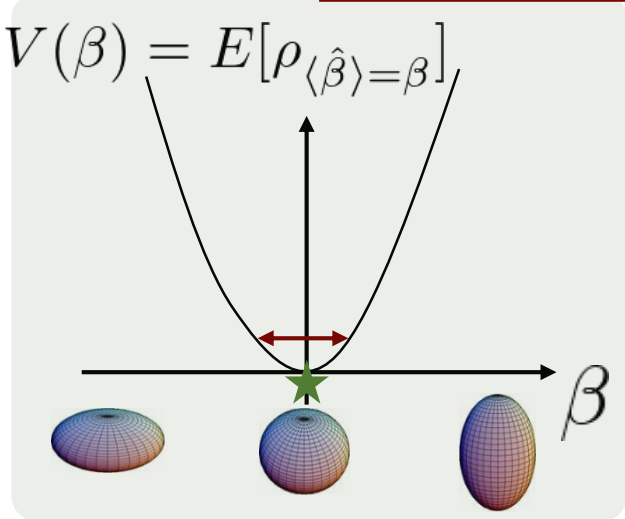
(付記) 本研究は、総合科学技術・イノベーション会議が
主導する 革新的研究開発推進プログラム (ImPACT) の一環
として実施したものです。

はじめに：大振幅集団運動

Heyde & Wood, Rev.Mod.Phys.83(2011)1467

小振幅から大振幅へ

e.g. Neutron number

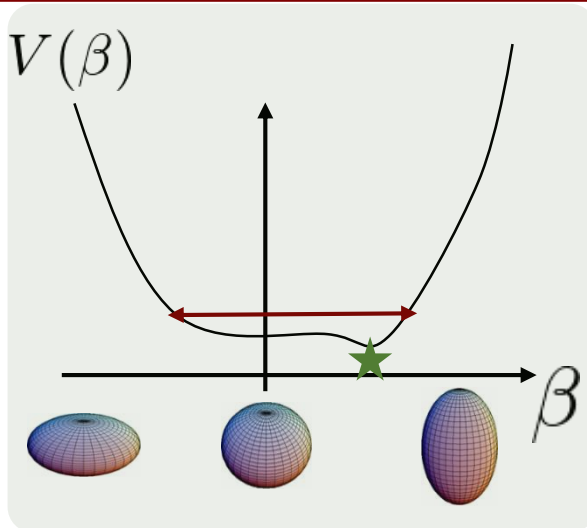


$0^+, 2^+, 4^+ \text{ ---}$

2^+ ---

0^+ ---

基底状態 (DFT) +
周辺の揺らぎ (RPA)



$\text{---} 6^+$

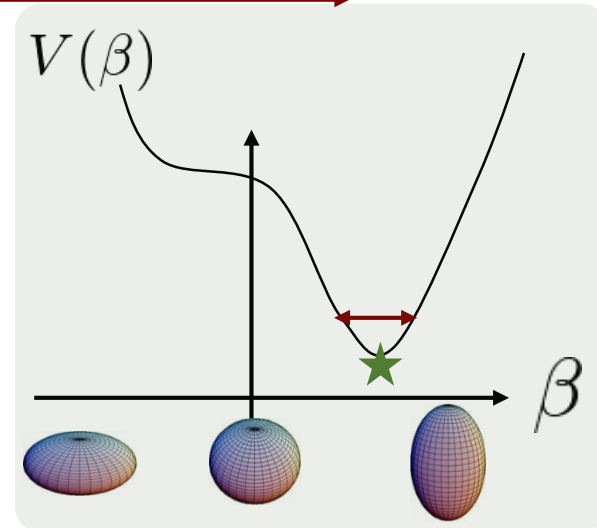
2^+ ---

4^+ ---

2^+ ---

0^+ ---

大きな形のゆらぎ



$\text{---} 6^+$

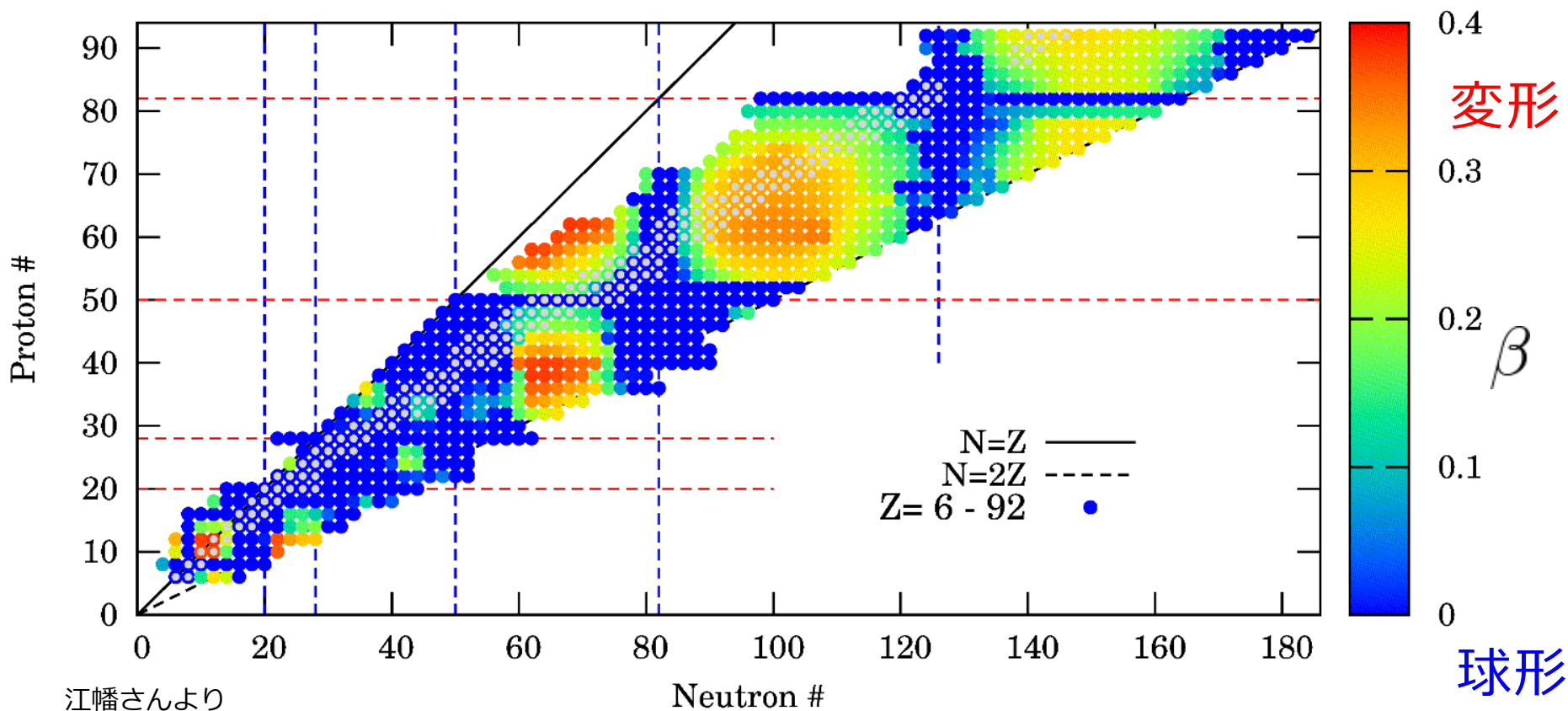
4^+ ---

$0^+ \text{ ---} 2^+$

Rotational band

核図表と四重極変形度

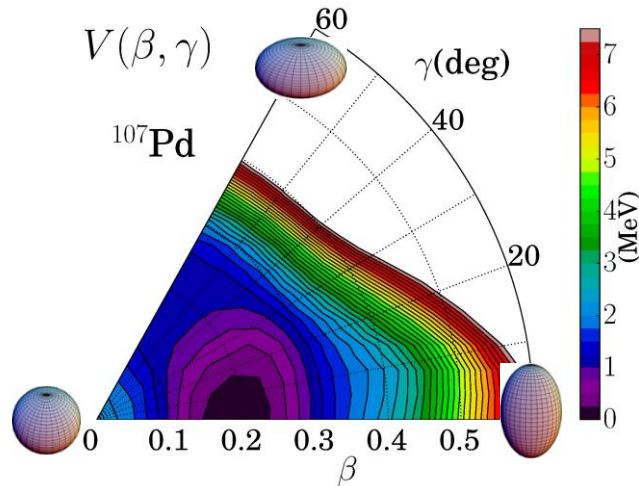
Quadrupole Deformation (# 1005)



江幡さんより

はじめに：原子核の形の揺らぎ

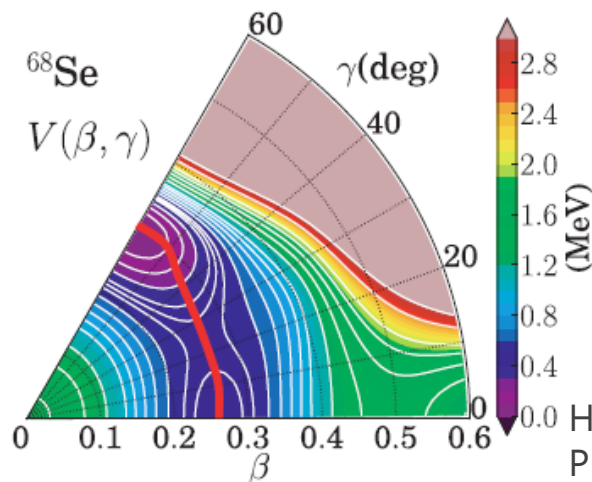
Shape fluctuation in transitional region, example:



^{107}Pd ← 長寿命核分裂生成物(LLFP)

$V < 2$ MeV にポテンシャル
エネルギーが広がる

→ 形の揺らぎ



^{68}Se

2つのエネルギー極小点

→ 変形共存

Hinohara et al.,
PRC82 (2010) 064313

小振幅から大振幅集団運動へ

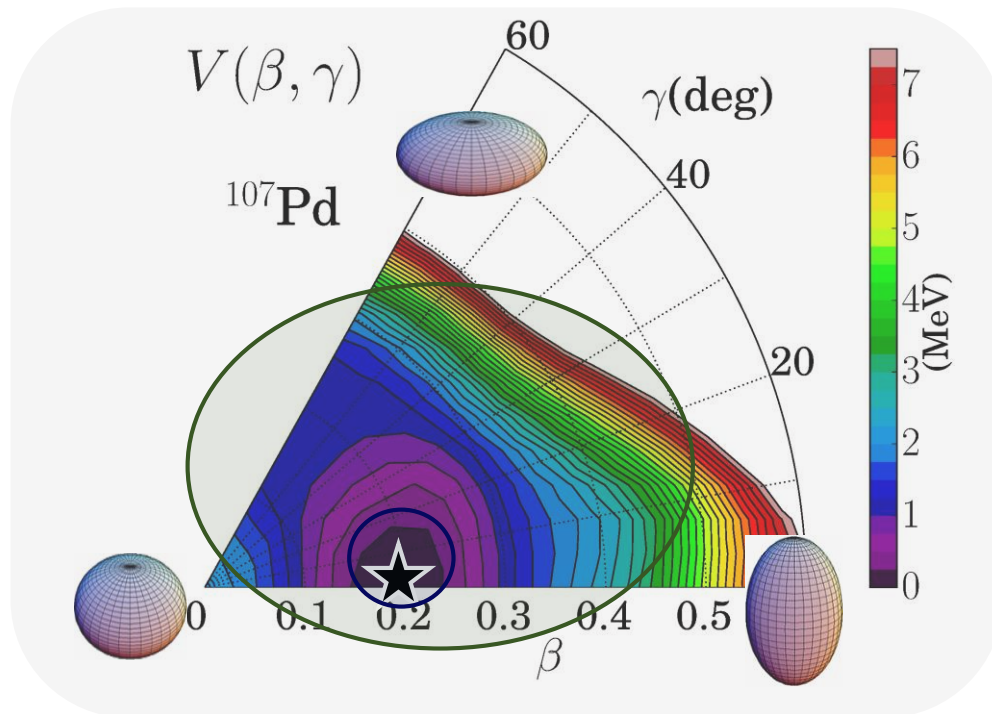
微視的な密度汎関数法による
基底状態の詳細な記述



基底状態周辺の揺らぎ
Random phase approximation
(RPA)



「基底状態周辺のゆらぎ」を
超えた大振幅集団運動



5D quadrupole collective (Bohr) model

HFB (potential) + Local QRPA (inertial functions) with P+Q force

$$\mathcal{H} = T_{\text{vib}} + T_{\text{rot}} + V(\beta, \gamma)$$

$$T_{\text{vib}} = \frac{1}{2} D_{\beta\beta}(\beta, \gamma) \dot{\beta}^2 + D_{\beta\gamma}(\beta, \gamma) \dot{\beta} \dot{\gamma} + \frac{1}{2} D_{\gamma\gamma}(\beta, \gamma) \dot{\gamma}^2$$

$$T_{\text{rot}} = \frac{1}{2} \sum_{k=1}^3 \mathcal{J}_k(\beta, \gamma) \omega_k^2$$

Hinojara et al.,
PRC82 (2010) 064313

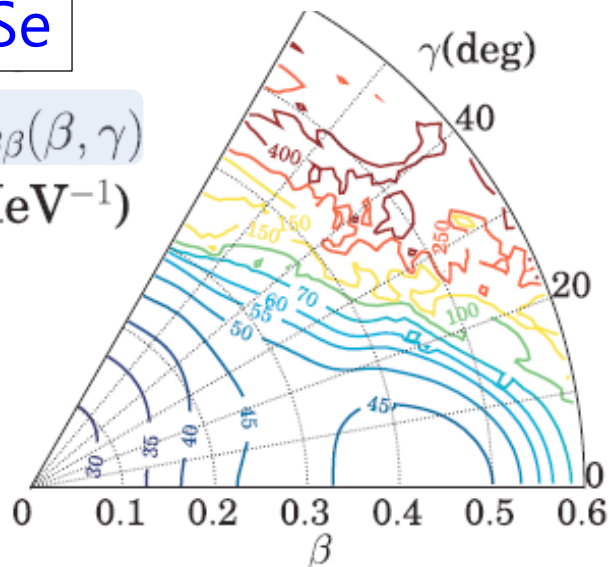
→ 量子化



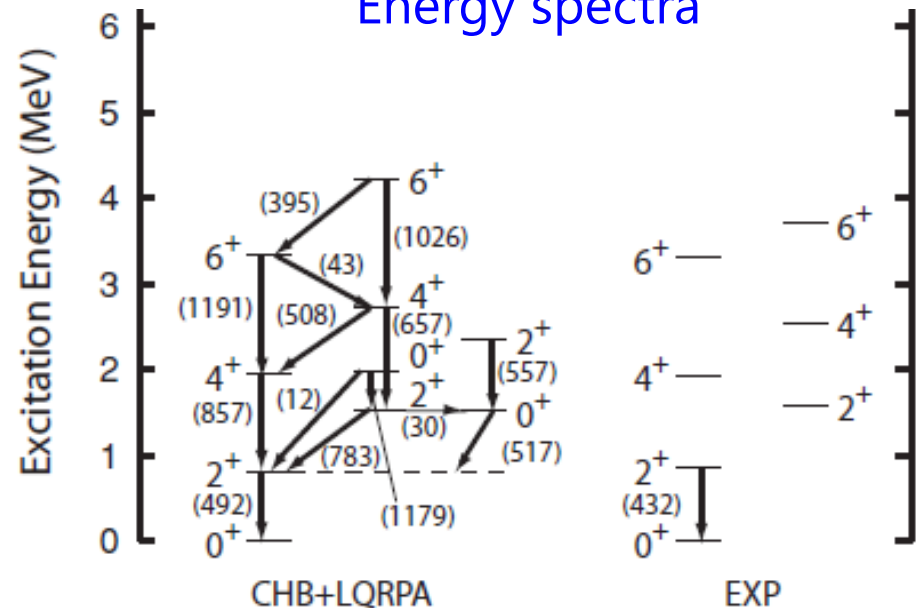
Inertial functions

^{68}Se

$D_{\beta\beta}(\beta, \gamma)$
(MeV^{-1})



Energy spectra



5D quadrupole collective (Bohr) model

HFB (potential) + Local QRPA (inertial functions) with P+Q force

$$\mathcal{H} = T_{\text{vib}} + T_{\text{rot}} + V(\beta, \gamma)$$

$$T_{\text{vib}} = \frac{1}{2} D_{\beta\beta}(\beta, \gamma) \dot{\beta}^2 + D_{\beta\gamma}(\beta, \gamma) \dot{\beta} \dot{\gamma} + \frac{1}{2} D_{\gamma\gamma}(\beta, \gamma) \dot{\gamma}^2$$

$$T_{\text{rot}} = \frac{1}{2} \sum_{k=1}^3 \mathcal{J}_k(\beta, \gamma) \omega_k^2$$

Hinojara et al.,
PRC82 (2010) 064313

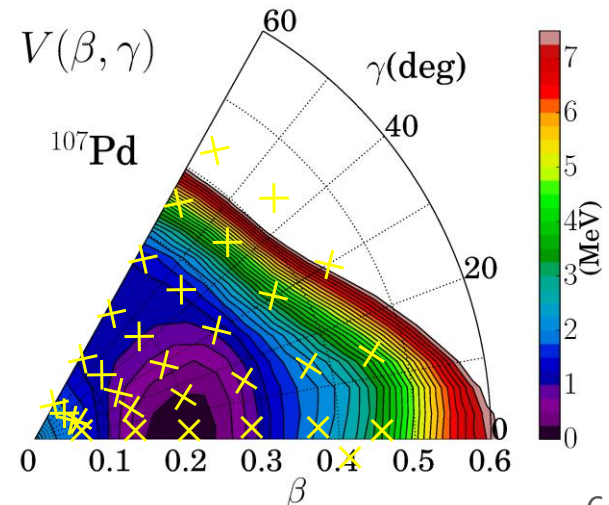
→ 量子化

本研究

P+Q force → Skyrme 型密度汎関数

$V(\beta, \gamma)$ β, γ 拘束条件付き Skyrme HFB

$D_{\mu\nu}(\beta, \gamma)$ $\mathcal{J}_k(\beta, \gamma)$ 各 β, γ 点上での Skyrme-QRPA 解



本研究の目的

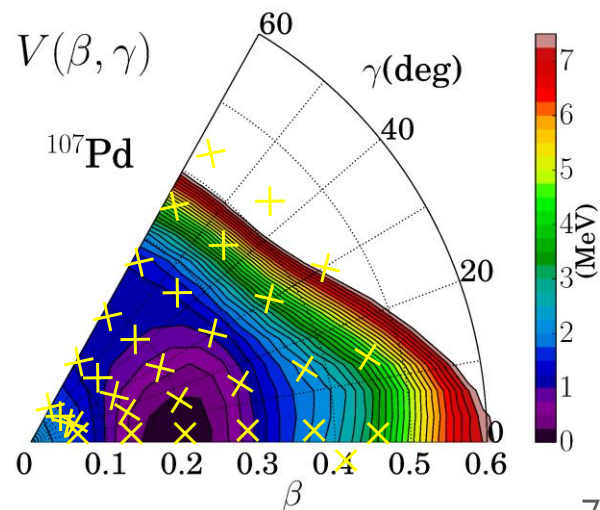
5D quadrupole collective Hamiltonian の構築

3次元 Skyrme QRPA がないので、

- 集団質量の計算用に 3次元 Skyrme QRPA の開発
- 有限振幅法の応用 (Finite amplitude method, FAM)

有限振幅法：数値的に効率的な QRPA 解法

- 各 β, γ 点で Local FAM+QRPA
⇒ 集団質量



Finite amplitude method (FAM)

Linear response TDDFT

$$(E_\mu + E_\nu - \omega)X_{\mu\nu}(\omega) + \delta H_{\mu\nu}^{20}(\omega) = -F_{\mu\nu}^{20}$$

$$(E_\mu + E_\nu + \omega)Y_{\mu\nu}(\omega) + \delta H_{\mu\nu}^{02}(\omega) = -F_{\mu\nu}^{02}$$

$F_{\mu\nu}$: External perturbation field
(Isoscalar quadrupole moment in this talk)

Finite amplitude method (FAM)

$$\delta H_{\mu\nu} = \frac{\partial H_{\mu\nu}}{\partial \mathcal{R}_{\alpha\beta}} \delta \mathcal{R}_{\alpha\beta}$$

$$\rightarrow \delta H_{\mu\nu} = \frac{1}{\eta} \{ H_{\mu\nu}[\mathcal{R}_0 + \eta \delta \mathcal{R}] - H_{\mu\nu}[\mathcal{R}_0] \}$$

Residual part \rightarrow finite difference form

Nakatsukasa et al., PRC76 (2007) 024318
Avogadro & Nakatsukasa, PRC84(2011)014314
Stoitsov et al., PRC84 (2011) 041305
Liang et al., PRC87 (2013) 054310

Nik
Pei
Mu

QRPA matrix

Dimension

$$\begin{pmatrix} A & B \\ -B^* & -A^* \end{pmatrix}$$

$N^2 \times N^2$

FAM matrix

$$\delta H_{\mu\nu}$$

$N \times N$

($N \sim 10^3$ for deformed nuclei)

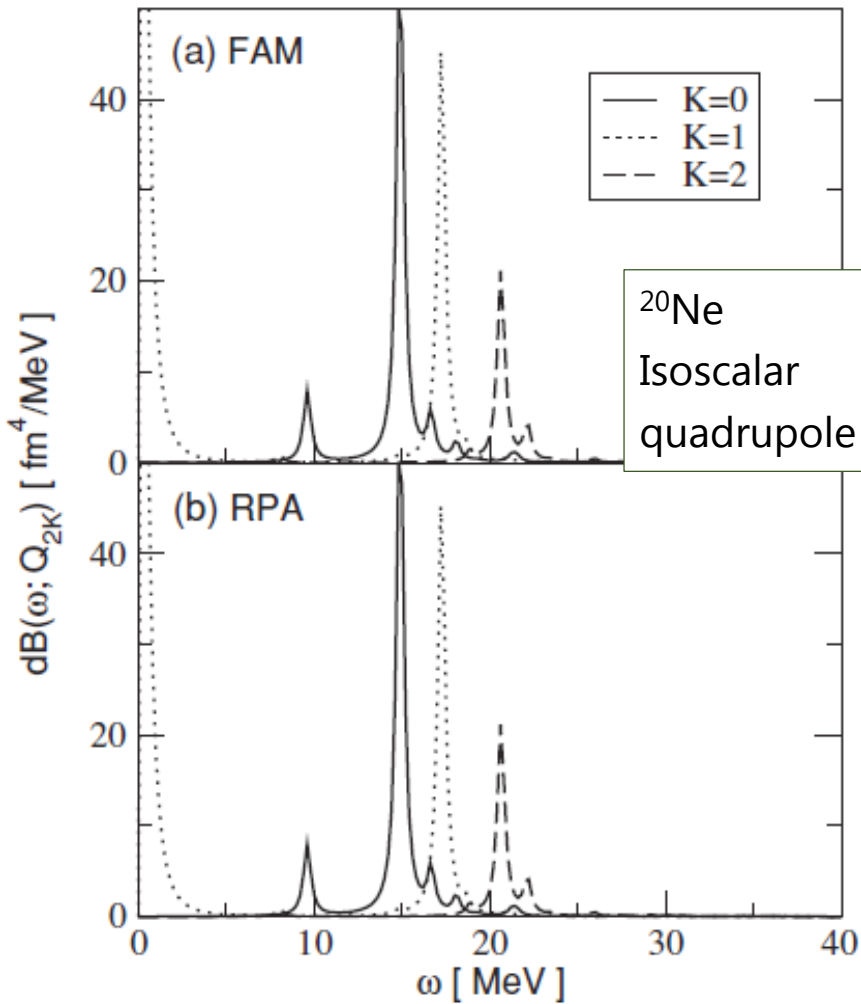
\mathcal{R}_0 : Ground state density

$\delta \mathcal{R}$: Fluctuating density

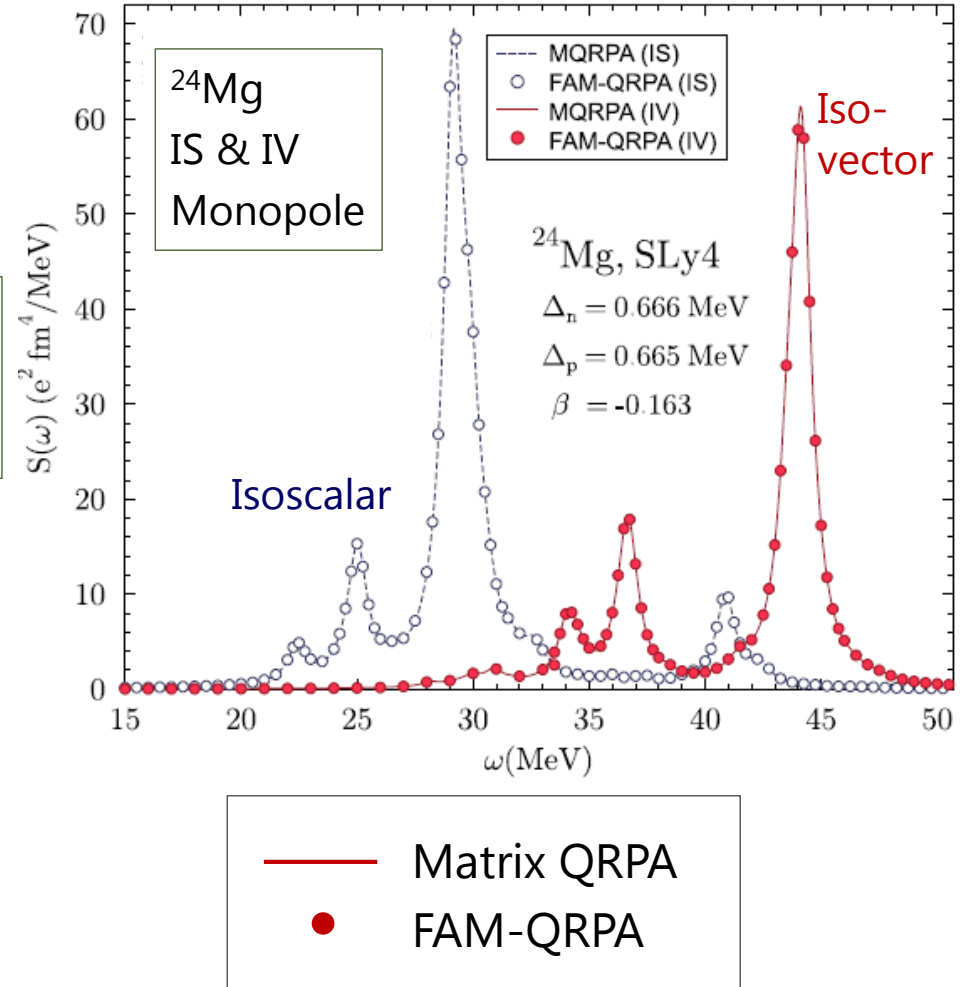
η : Small parameter

FAM = (Q)RPA

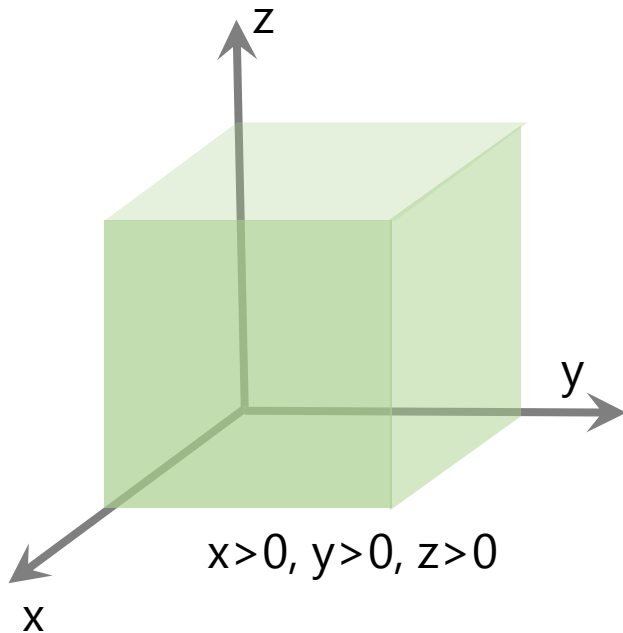
Nakatsukasa et al., PRC76 (2007)024318



Stoitsov et al., PRC84 (2011)041305



Numerical setup



- Three-dimensional Cartesian coordinate
- Parity
- Modified Broyden method for iteration
- Smearing width of $\gamma = 0.5$ MeV $\omega \rightarrow \omega + i\gamma$
- Strength function

$$S(\omega) = -\frac{1}{\pi} \text{Im} \left(\sum_{\mu < \nu} F_{\mu\nu}^{20*} X_{\mu\nu} + F_{\mu\nu}^{02*} Y_{\mu\nu} \right)$$

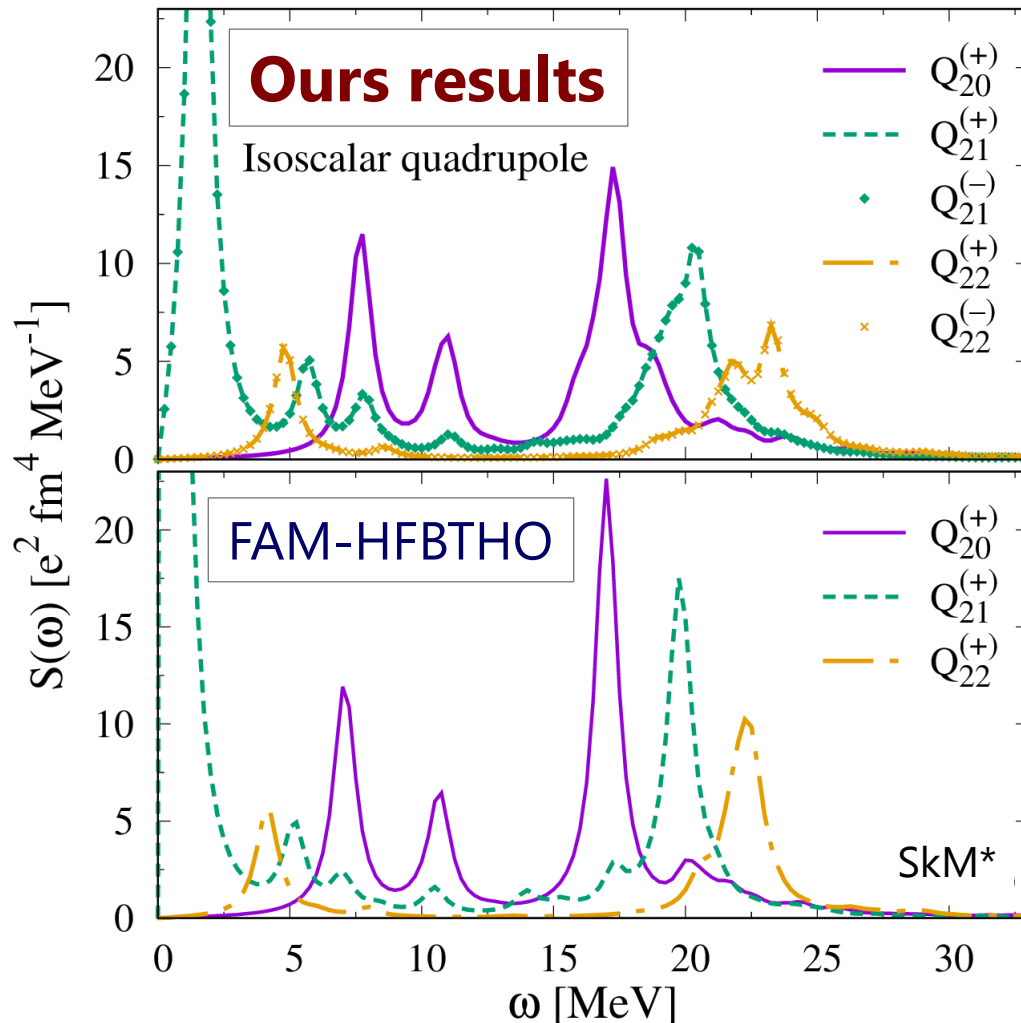
Hartree-Fock basis as a single-particle basis

Mesh size: $\Delta x = 0.8$ fm

$\Delta\omega = 0.25$ MeV

Benchmark: Deformed nucleus ^{24}Mg

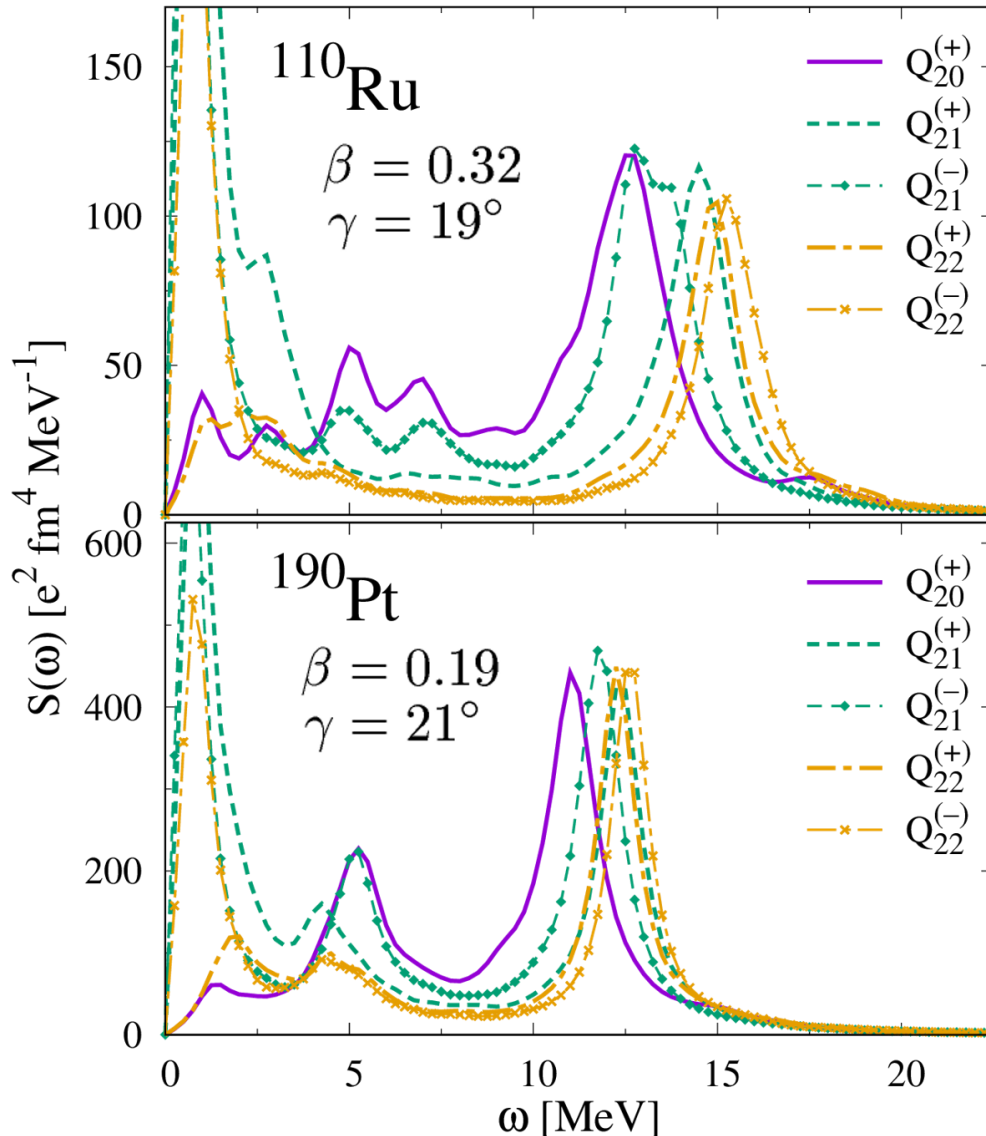
Isoscalar quadrupole response $Q_{2K}^{(\pm)} \propto r^2(Y_{2+K} \pm Y_{2-K})$ Washiyama, Nakatsukasa, PRC96, 041304(R) (2017)



- Good agreement of peak energies and shapes in each K
- Widths of giant resonance peaks are wider
- $K=1$ spurious mode around $\omega=0$ due to rotation

FAM-HFBTHO:
Kortelainen et al.,
PRC92(2015)051302

Strength of triaxial superfluid nuclei



Isoscalar quadrupole response

Five strength functions

Three spurious rotations (x, y, z)

→ Only appear in **triaxial** nuclei

EWSR ($\omega < 50$ MeV)

98.7 % (^{110}Ru)

98.6 % (^{190}Pt)

350 CPUh for 200ω

3.5 GB memory

Numerical set up

^{110}Ru : 17^3 mesh, $R_{\text{max}} = 14.0\text{fm}$, 1120 HF states

^{190}Pt : 19^3 mesh, $R_{\text{max}} = 15.6\text{fm}$, 1360 HF states

Moment of inertia

$$T_{\text{rot}} = \frac{1}{2} \sum_{k=1}^3 \mathcal{J}_k(\beta, \gamma) \omega_k^2$$

南部Goldstone modeと質量 (Thouless-Valatin inertia)

$$S^{\text{FAM}}(\hat{P}_{\text{NG}}, \omega) \approx \frac{M_{\text{NG}} \Omega_{\text{NG}}^2}{\omega^2 - \Omega_{\text{NG}}^2}$$
$$= -M_{\text{NG}} \quad (\omega = 0)$$

(e.g. Translation, [rotation](#) etc.)

Ω_{NG} : Energy
 M_{NG} : Inertia of NG mode

$\Omega_{\text{NG}} \neq 0$ の場合もある

Hinohara, PRC92(2015)034321

Thouless-Valatin moment of inertia

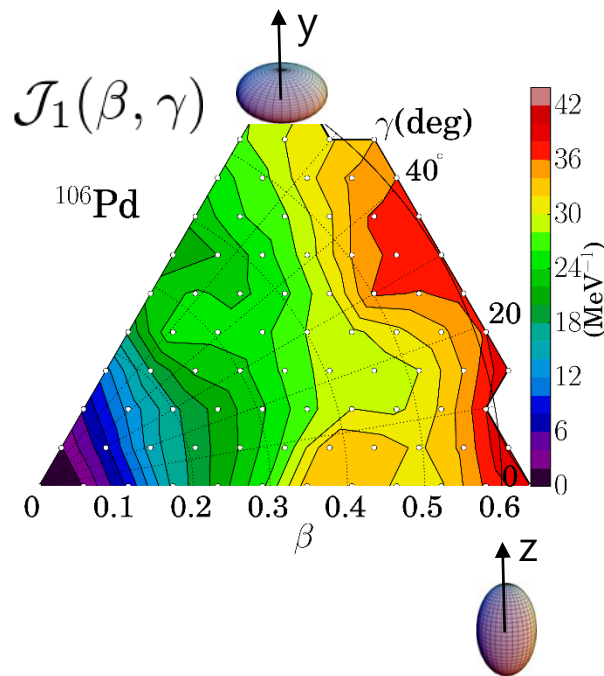
$$\hat{P}_{\text{NG}} = \hat{J}_z, \quad M_{\text{NG}} = \mathcal{J}_z^{\text{TV}}$$

利点： $\omega = 0$ だけ FAM 計算すればよい

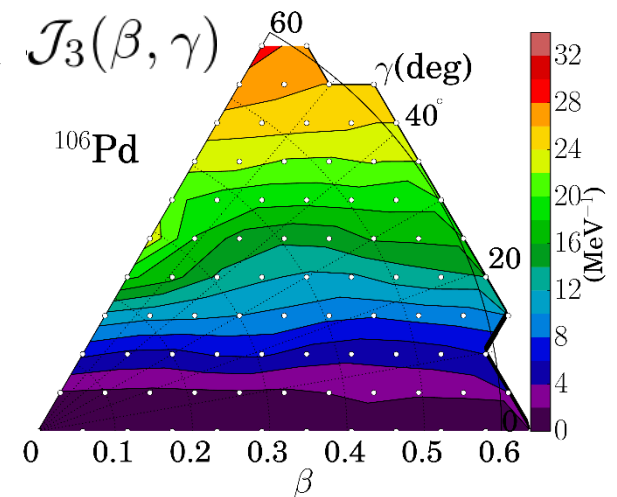
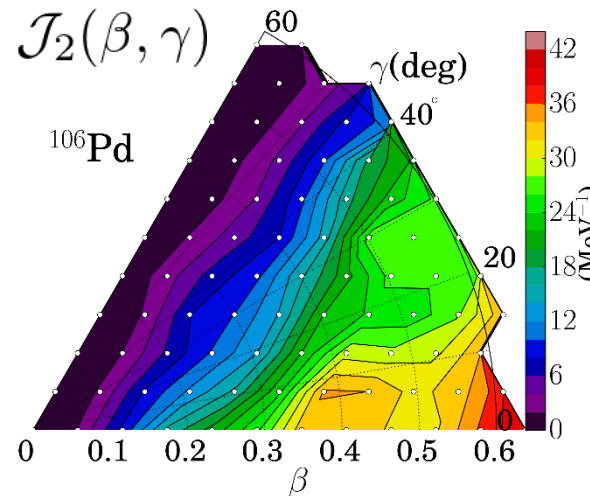
➡ 数値計算量が少ない

Local FAM+QRPA -- Moment of inertia

FAM を拡張、各 β - γ 点で FAM 計算による moment of inertia

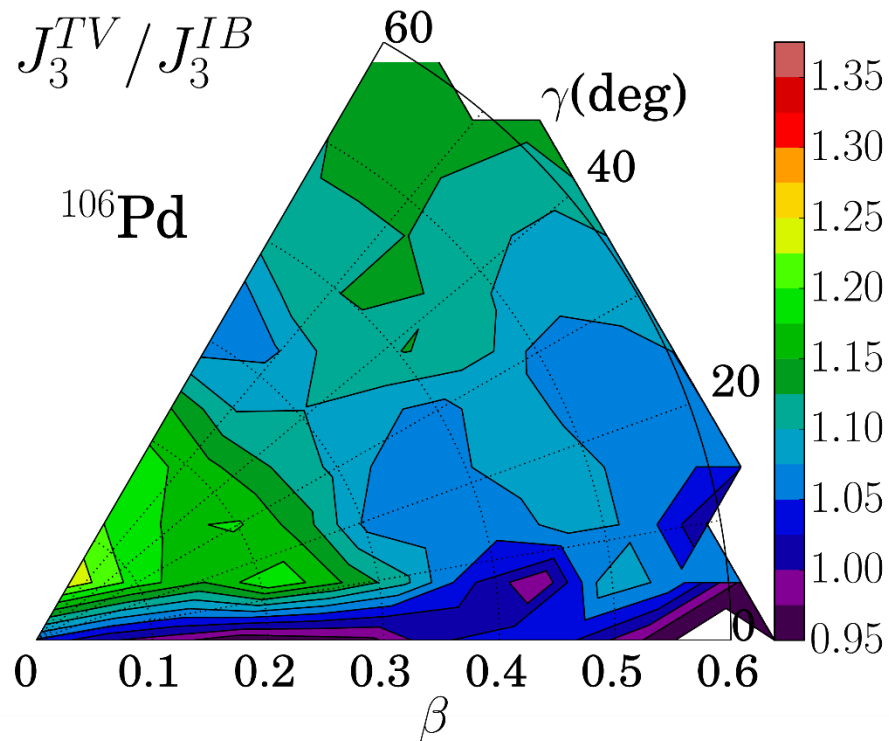


$$T_{\text{rot}} = \frac{1}{2} \sum_{k=1}^3 \mathcal{J}_k(\beta, \gamma) \omega_k^2$$



Local FAM+QRPA -- Moment of inertia

Thouless-Valatin vs. Inglis-Belyaev
moment of inertia



Inglis-Belyaev moment of inertia
(residual interaction を無視した手法)

Residual interaction により
moment of inertia は増加する。

先行研究の多くは J^{IB} または $f \times J^{IB}$,
 $f \sim 1.2-1.4$ などを使って moment of
inertia を評価していたが、それで
は不十分。 β - γ 依存性が重要

Summary

Shape fluctuation → Large amplitude collective motion

3D FAM+QRPA with Skyrme EDF is ready

Benchmark: Axial nucleus ^{24}Mg

Triaxial superfluid nucleus ^{110}Ru

Moment of inertia by Local FAM+QRPA

Future plan

Local FAM+QRPA → Mass inertial functions

5D quadrupole collective (Bohr) Hamiltonian

